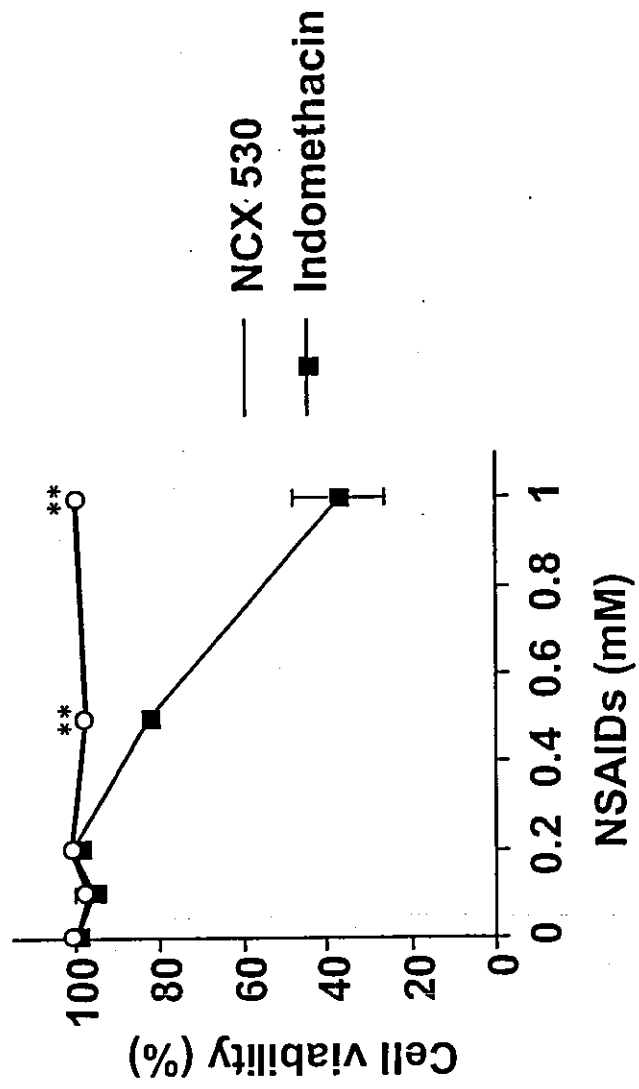


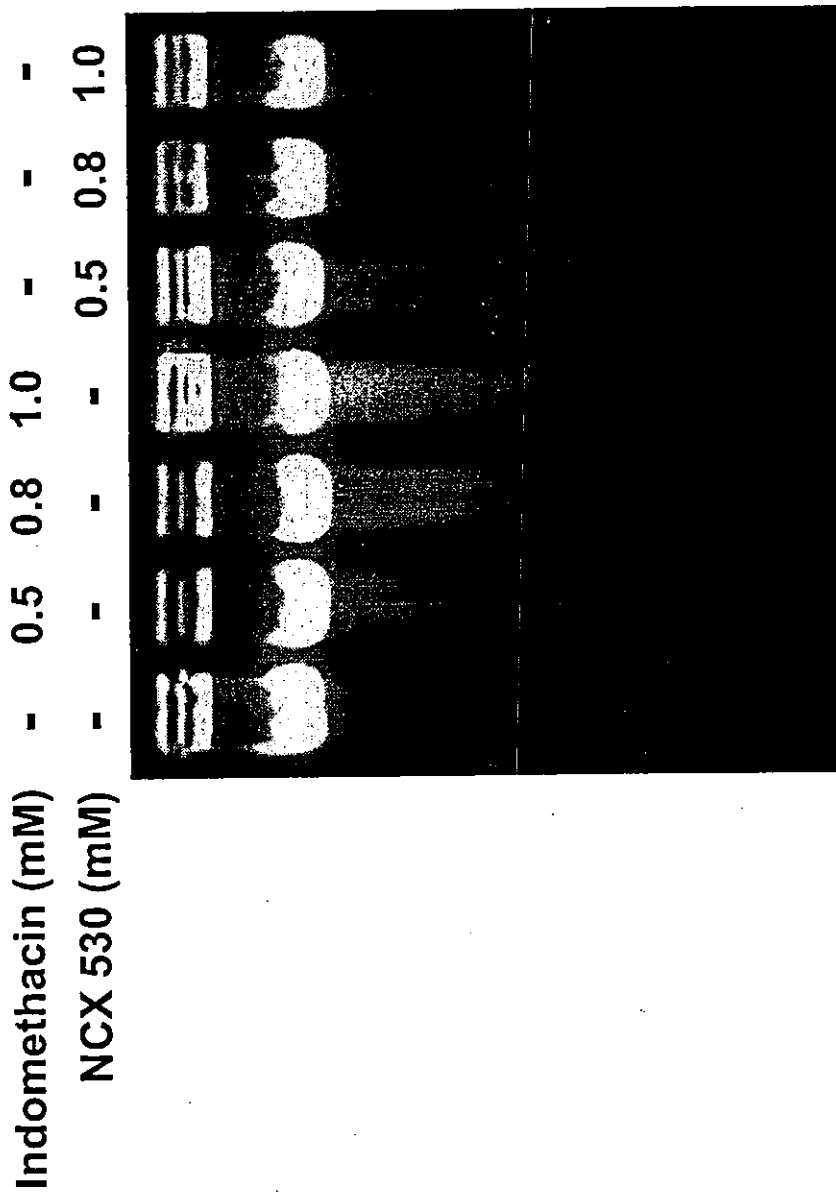
Tomisato et al. Fig. 1

B

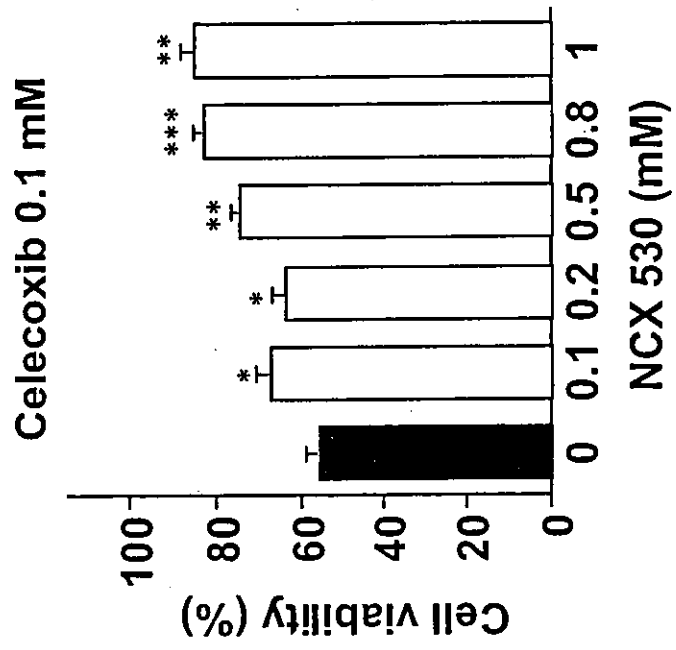


Tomisato et al. Fig. 1

C

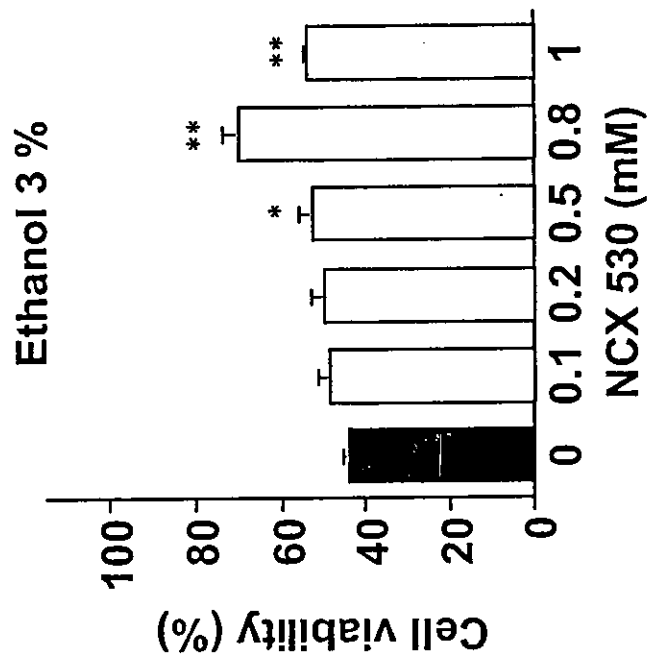


A



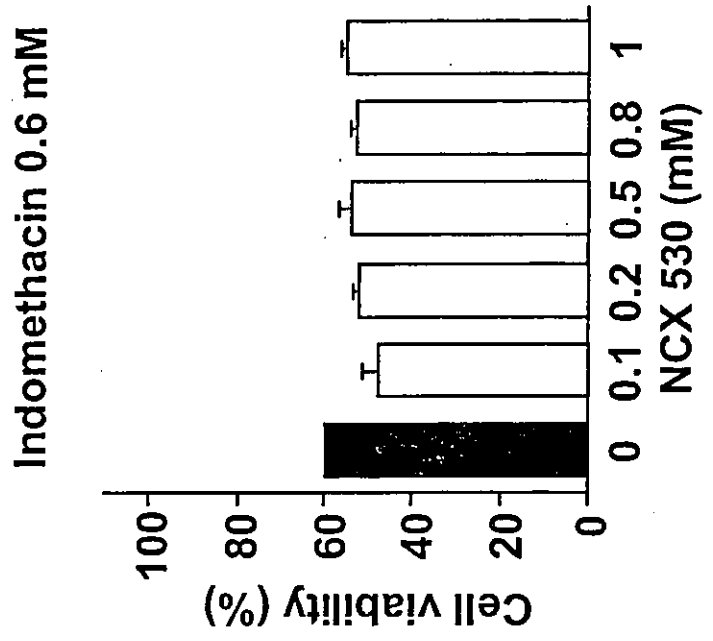
Tomisato et al. Fig. 2

**B**

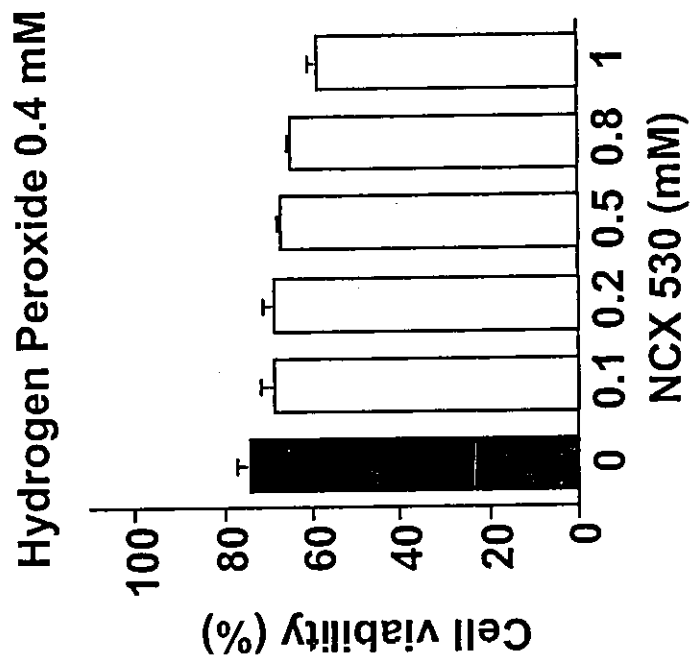


Tomisato et al. Fig. 2

C

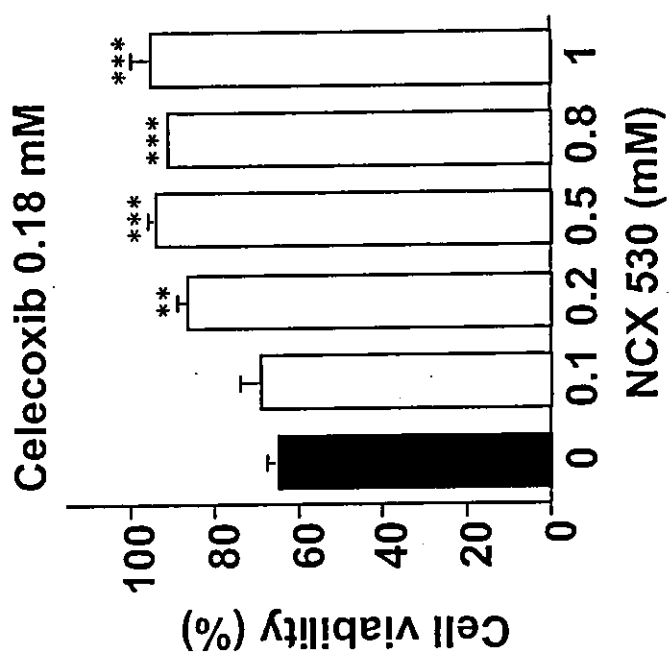


D

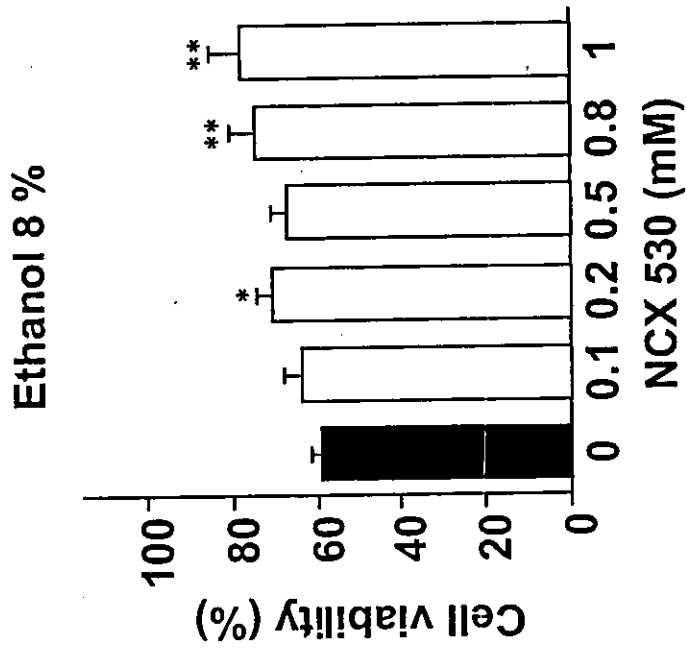


Tomisato et al. Fig. 3

A

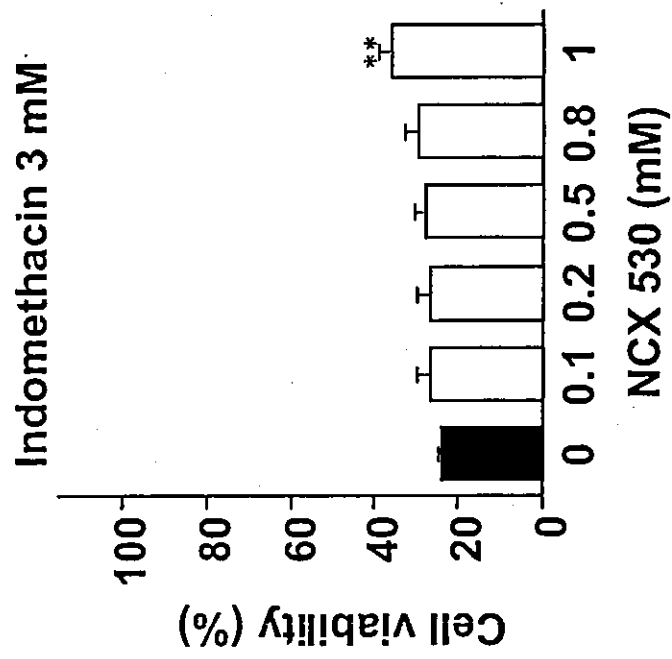


**B**

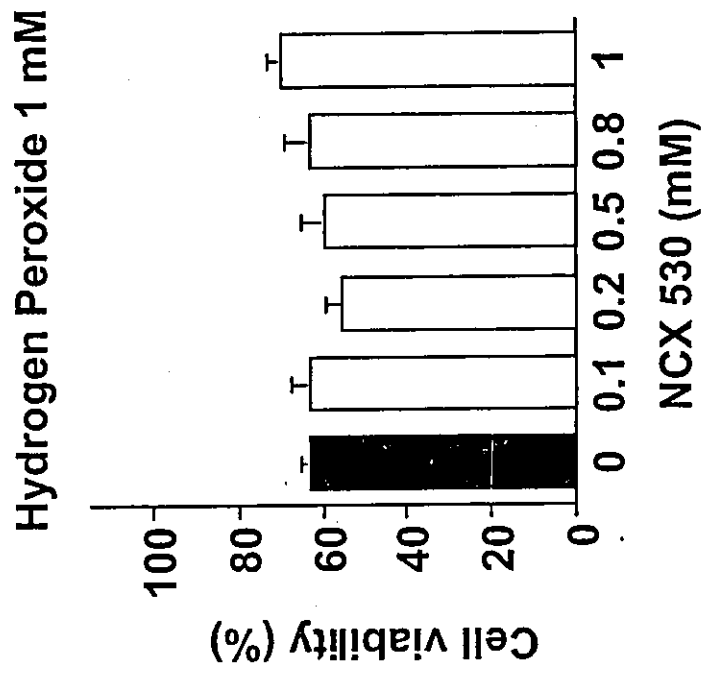


Tomisato et al. Fig. 3

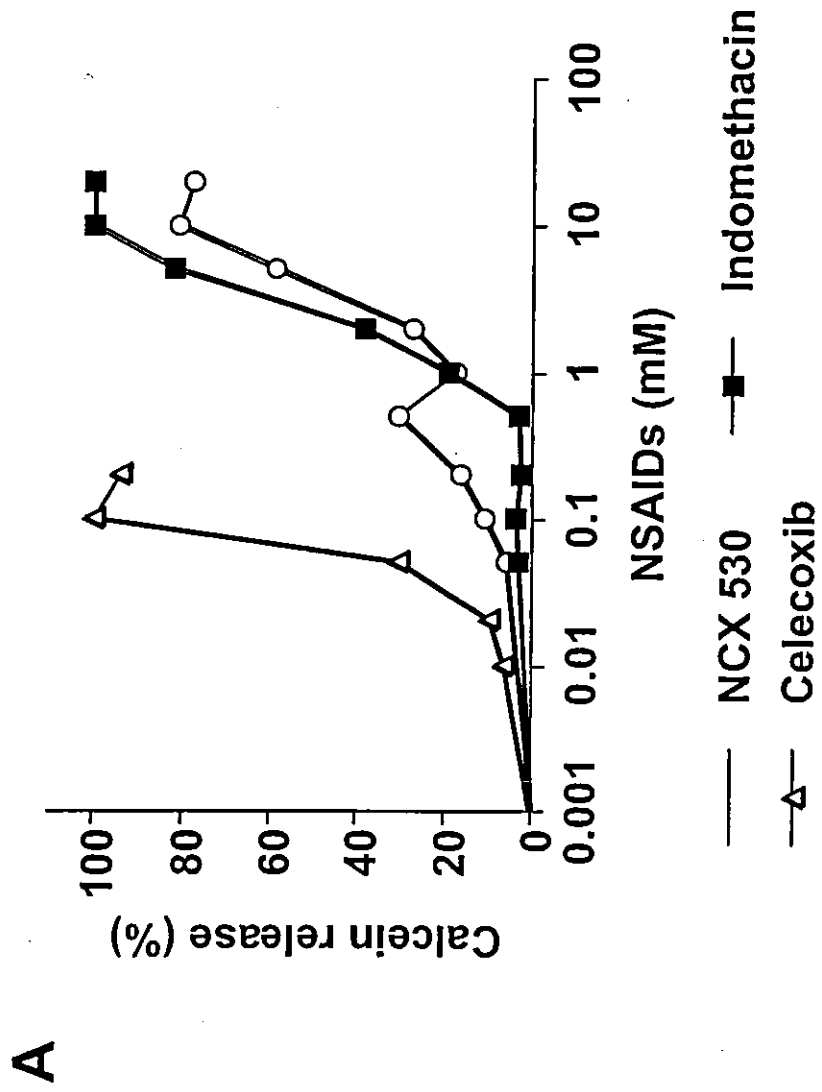
C



**D**

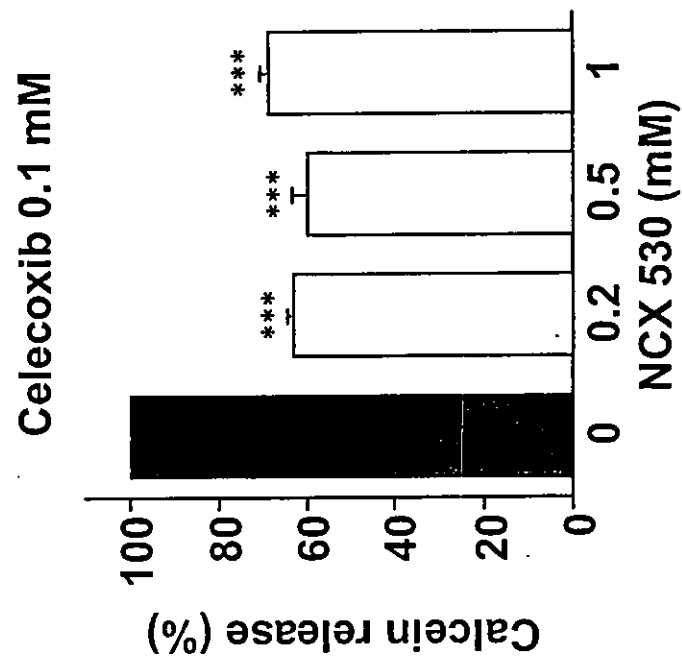


Tomisato et al. Fig. 4



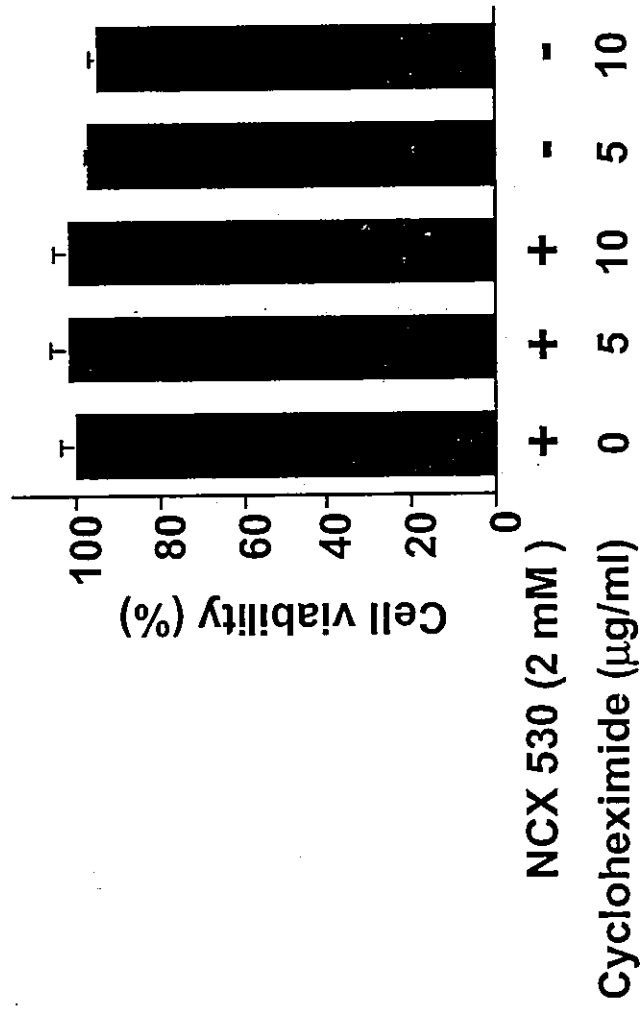
Tomisato et al. Fig. 4

**B**

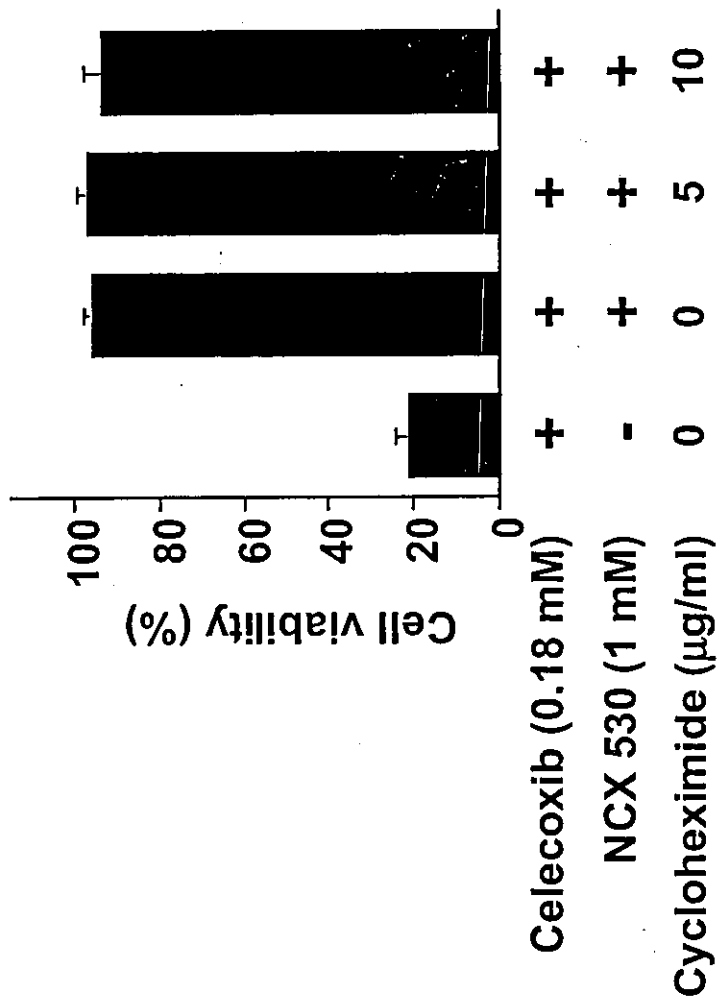


Tomisato et al. Fig. 5

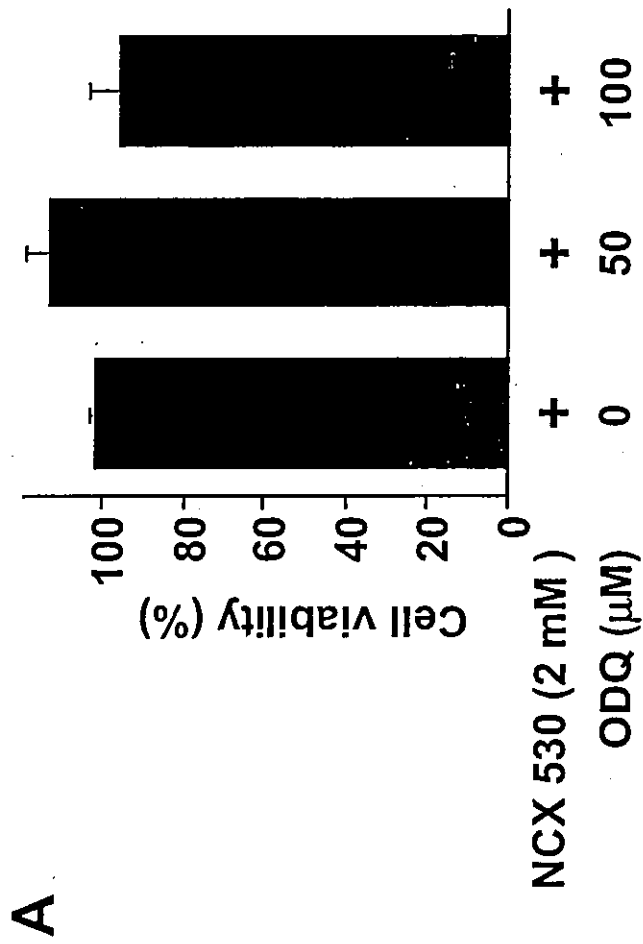
A



**B**

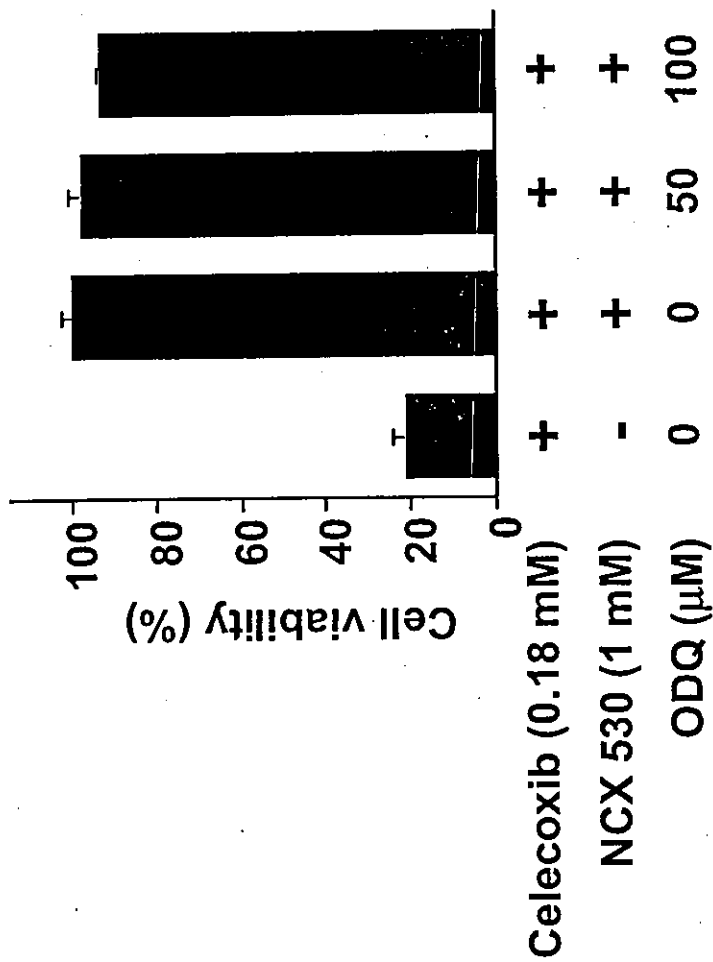


Tomisato et al. Fig. 6



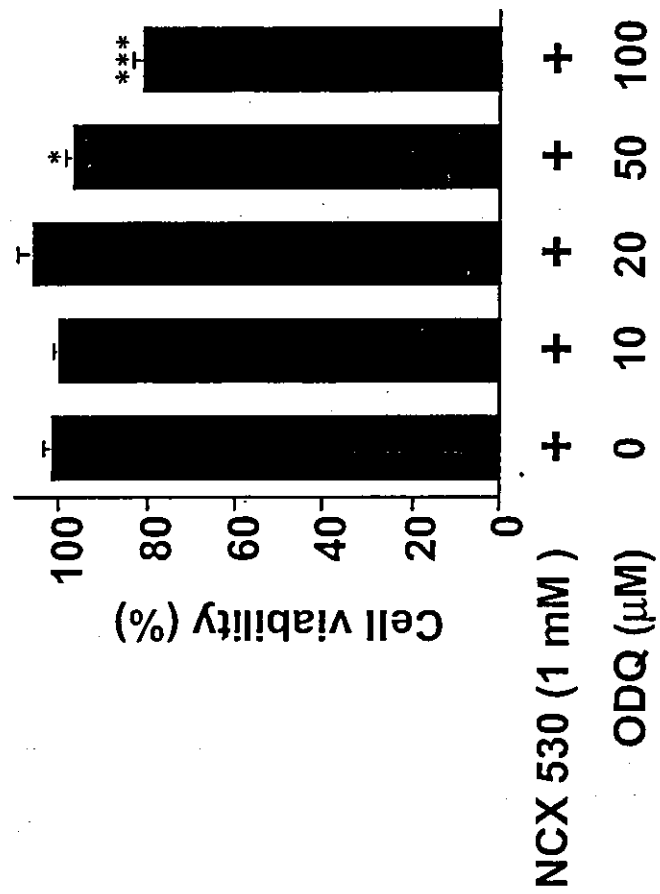
Tomisato et al. Fig. 6

**B**

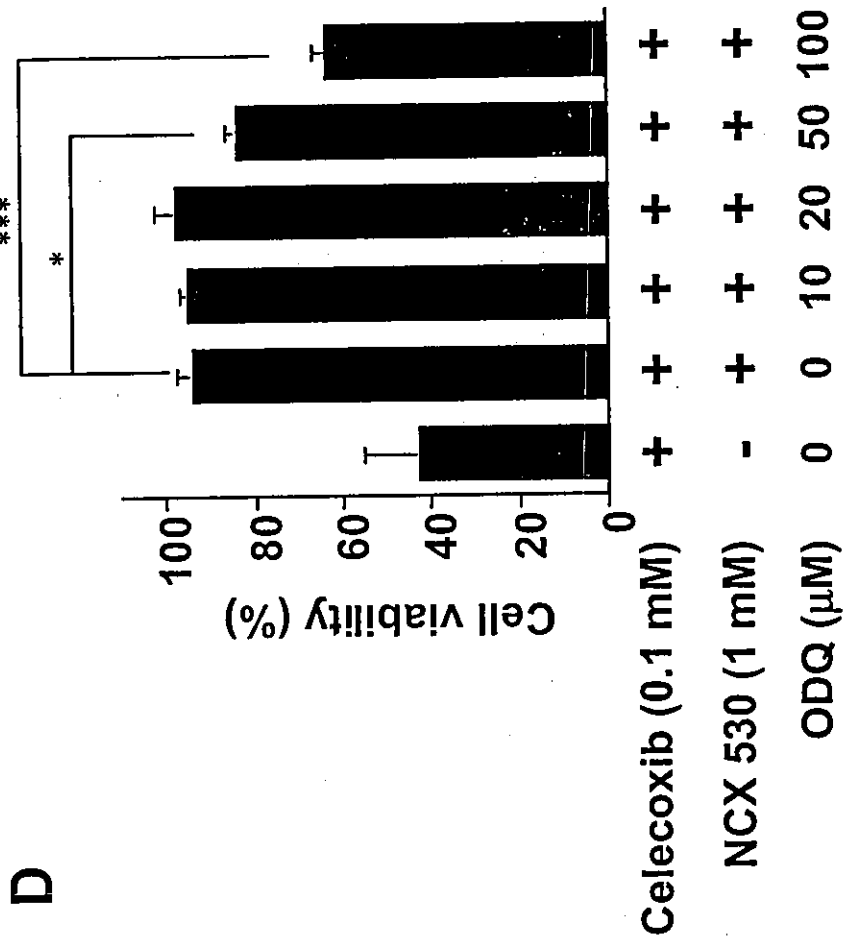


Tomisato et al. Fig. 6

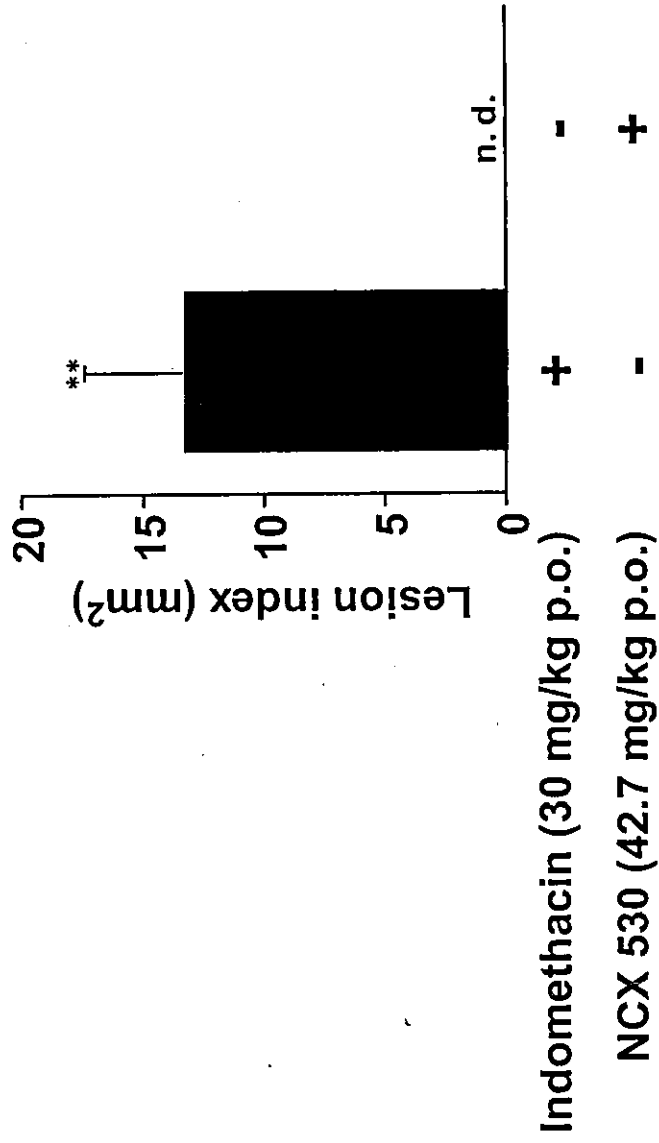
C



Tomisato et al. Fig. 6



Tomisato et al. Fig. 7



Tomisato et al. Fig. 8

